

龍上工業(株) 正員 左合玄一  
大阪市土木局 正員 黒山泰弘

日本鉄塔工業(株) 研究部 倍  
東日本鉄工(株) 高橋峰雄

## 1. まえがき

旧阪堺大橋は、図-1に例示するようなりべット構造の単純非合成桁橋で、14連からなった橋長224.45mの橋梁である。大阪臨海線の大和川に位置し、昭和2年の架設以来50年に亘って供用された。近年特に重車両交通が通過する機会が多く、昭和50年に架け換えのため撤去された。これを契機として、大阪市と長大橋技術研究会では、本橋に作用する荷重および主桁、床版の耐荷力等について調査・研究を行い、順次その結果を発表してきた。<sup>1)~4)</sup> 今回、これら調査・研究の成果を用いて確率統計的手法により、旧阪堺大橋の主桁に関する安全性指標と破壊確率を求め、而街橋の健全性判定のための一資料とすることとする。

## 2. 作用力

図-1の主桁G1の支間中央に着目して、二の点に作用する死荷重および活荷重曲げモーメントを算出する。

### 2-1. 死荷重による曲げモーメント

死荷重強度は、設計図面の寸法より計算した。本橋は非合成桁として設計されていたが、調査・研究の結果文献2)に示したように、コンクリート床版と鋼桁との合成作用が顕著に認められた。そこで、死荷重モーメントの計算は合成桁として行った。その結果、支間中央の曲げモーメントは慣用計算法により、 $M_{D1} = 49.62 \text{ t}\cdot\text{m}$ ,  $M_{D2} = 10.16 \text{ t}\cdot\text{m}$ となった。また、比較のために設計条件と同じく、非合成桁としても計算してみた。ところで、既往の文献によれば死荷重強度のばらつきは、正規分布に従うとされている。この仮定に基づき、上記の値を平均値とし、変動係数が0.05となる死荷重モーメントをミニマム・ミックスンして求めた。試行回数は、10000回とした。

### 2-2. T荷重による曲げモーメント

文献3)によれば、T荷重強度は指数分布を呈し、その確率密度関数は  $f(x) = 0.0936 e^{-0.0936(x-5.0)}$ 、平均値  $= 15.8t$  と推定されている。T荷重による曲げモーメントの計算に際し車両の載荷状態も文献3)に従い、図-3のよう固定する。図中の車両重量W1およびW2は、それそれぞれ乱数を用いて発生させ、各荷重ごとのT荷重を決定した。これらの自動車荷重による主桁支間中央の曲げモーメントは、橋梁解析により求めた。

### 2-3. L荷重による曲げモーメント

L荷重の測定は、(新)阪堺大橋の外側主桁の架設が終了し、供用開始された時点での阪神高速道路を対象にして実施された。この結果より、文献4)ではL荷重強度を推定している。そして、L荷重強度は対数正規分布を示し、総荷重Pは平均値  $\bar{P} = 0.608$ 、標準偏差  $\sigma = 0.238$  であったと報告した。旧阪堺大橋は支間長が15.24mと短いため、重車両が支間中央に載荷された状態で、前後の走行車両

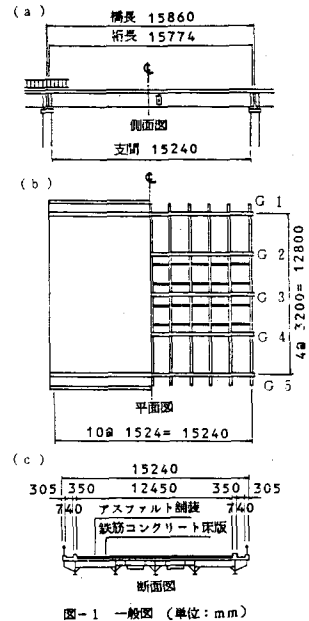


図-1 一般図 (単位:mm)

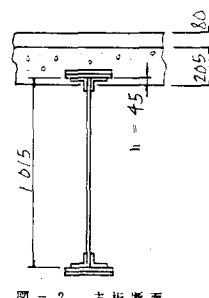


図-2 主桁断面

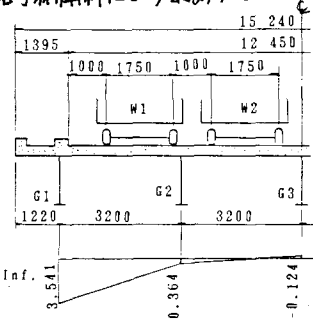


図-3 T荷重載荷状態

が主桁の曲げモーメントに影響を与える可能性は非常に低いといえる。したがって、L荷重としては集中荷重のみを考慮し、分布荷重は除外した。印桁の曲げモーメントを計算するには、T荷重と同様に格子桁解析し、幅員の印桁側半分に載荷した。

### 3. 抵抗力

主桁印中央断面の抵抗値を、確率変量として求めろ。抵抗値のばらつきの要因としては、コンクリート断面、鋼断面の形状寸法、コンクリートおよび鋼材の降伏点等を考える。また、コンクリート断面には、床版の有効幅を考慮し、これらの値を正規分布と仮定した。用いたデータを表-1に総括する。表中断面寸法の平均値は、設計図面の値を用い、変動係数は既往の内部資料によった。また、主桁断面の終局限界状態としては、合成桁としての鋼桁下縁における

表-1 主桁断面寸法、強度

| 確率変量 |      | 部材                     | コンクリート床版          | U.Cov<br>L.Cov          | U.Pig<br>L.Pig   | Web                   | Avg.<br>Area, Cx |
|------|------|------------------------|-------------------|-------------------------|------------------|-----------------------|------------------|
| 断面寸法 | 平均値  | 2750 × 205 (h=45)      | 254 × 11.0        | 254 × 14.3              | 1015 × 9.3       | 46.90 cm <sup>2</sup> | 29.5             |
|      | 変動係数 | 0.030, 0.030, 0.030    | 0.00144<br>0.0175 | 0.00144<br>0.0175       | 0.0009<br>0.0175 | 0.0175                | 0.0175, 0.0018   |
| 強度   | 平均値  | 417 kg/cm <sup>2</sup> |                   | 2810 kg/cm <sup>2</sup> |                  |                       |                  |
|      | 変動係数 | 0.100                  |                   | 0.085                   |                  |                       |                  |

応力度が、降伏点に達した状態と定義した。なお、当初非合成桁として設計された経緯より、参考のために非合成桁としての抵抗値も計算した。計算手法としてはモンテカルロ法を用い、10000回のシミュレーションを実行した。

### 4. 安全性指標Bおよび破壊確率Pf

抵抗値をR、主桁の限界曲げモーメントをMu、死荷重作用力をMd、活荷重作用力をMl、作用力をSとすれば、

$$R = Mu - Md, \quad S = Ml \quad \text{--- (1) a, b}$$

となる。また安全性指標は、次式により計算した。

$$\beta_1 = (\mu_R - \mu_S) / \sqrt{\sigma_R^2 + \sigma_S^2}, \quad \beta_2 = \ln(\mu_R / \mu_S) / \sqrt{\sigma_R^2 + \sigma_S^2} \quad \text{--- (2) a, b}$$

さらに、破壊確率Pfを数値積分により計算した。抵抗力R、作用力Sの確率密度関数fr(x), fs(x)は、それぞれ次式で与えた。

$$\begin{aligned} fr(x) &= \frac{1}{360\sqrt{2\pi}} \exp\left[-\frac{1}{2}\left(\frac{x-347.82}{360}\right)^2\right] \quad (\text{合成桁}), \quad fr(x) = \frac{1}{2940\sqrt{2\pi}} \exp\left[-\frac{1}{2}\left(\frac{x-282.74}{2940}\right)^2\right] \quad (\text{非合成桁}) \\ f_t(x) &= 0.0607 \cdot e^{-0.0607(x-0.350)} \quad (\text{T荷重}), \quad f_s(x) = \frac{1}{0.238\sqrt{2\pi}} \exp\left[-\frac{1}{2}\left(\frac{\log x - 1.388}{0.238}\right)^2\right] \quad (\text{L荷重}) \end{aligned} \quad \text{--- (3) and}$$

計算データの総括と計算結果を表-2に示す。表中のμは平均、σは標準偏差、δは変動係数を表わす。

表-2 抵抗、作用力、安全性指標、破壊確率

| 荷重    | 項目  | R      |       |       | S     |       |       | B, Pf          |                |                          |
|-------|-----|--------|-------|-------|-------|-------|-------|----------------|----------------|--------------------------|
|       |     | μ      | σ     | δ     | μ     | σ     | δ     | β <sub>1</sub> | β <sub>2</sub> | Pf                       |
| 合成断面  | L荷重 | 347.82 | 36.00 | 0.104 | 28.40 | 10.43 | 0.542 | 8.0            | 4.2            | 0.105 · 10 <sup>-5</sup> |
|       | T荷重 | 347.82 | 36.00 | 0.104 | 16.71 | 16.08 | 0.462 | 8.4            | 3.1            | 0.149 · 10 <sup>-8</sup> |
| 非合成断面 | L荷重 | 282.74 | 29.40 | 0.104 | 28.40 | 10.43 | 0.542 | 7.5            | 3.8            | 0.619 · 10 <sup>-5</sup> |
|       | T荷重 | 282.74 | 29.40 | 0.104 | 16.71 | 16.08 | 0.462 | 7.4            | 2.9            | 0.175 · 10 <sup>-6</sup> |

である。今回は外桁のみに着目したため、反対車道の自動車荷重は無視し得たが、内桁については反対車線の自動車荷重についても考慮しなければならないと考えている。今後、L2、L3桁についても計算する必要がある。

### 参考文献

- 1) 旧阪堺大橋の健全性の調査と研究について（昭和59年度関西支部年譲）
- 2) 旧阪堺大橋の主桁の破壊実験について（昭和59年度年譲全国大会）
- 3) 阪堺大橋の自動車荷重（T荷重）の測定について（昭和60年度関西支部年譲）
- 4) 阪堺大橋の自動車荷重（L荷重）の測定について（昭和60年度関西支部年譲）